

# 물리계층 보안 향상을 위한 이종 Rank 범행렬 선택기반 의사-무작위 범포밍 기법

손 응(충남대학교), 정방철(충남대학교)

woongson@cnu.ac.kr, bcjung@cnu.ac.kr

## A Pseudo-Random Beamforming Technique with Multiple Beam Matrices of Heterogeneous Rank for Improving Physical Layer Security

Woong Son(Chungnam National Univ.) and Bang Chul Jung(Chungnam National Univ.)

### 요약

본 논문은 하향링크 셀룰라 네트워크에 다수의 공인단말들과 인접 셀에서는 인증되었으나, 공인 셀에 속하지 않아 수신이 허가되지 않은 비공인단말들이 존재하는 상황에서 물리계층 보안전송률을 향상시키기 위한 기지국에서의 이종 랭크(Rank)를 갖는 다수의 범행렬 중 최적을 선택사용하는 의사-무작위 범포밍 기법을 제안하였다. 컴퓨터 모의실험을 통해 기존의 완전한 랭크(Full Rank)를 갖는 다중 범행렬 선택 기법과 제안한 기법의 성능을 비교 분석하였으며, 제안한 기법이 기존 기법 대비 보안전송률 성능이 우수함을 확인하였다.

### I. 서 론

최근 정보이론적으로 정의된 보안용량에 대해 활발하게 연구되고 있다. 관련연구 중에서 보안전송률을 극대화하기 위해 다중안테나 기지국에서 의사-무작위 범행렬 후보들 중 최적을 선택하여 사용하는 기법 [1]이 제안되었다. 본 논문에서는 기존 기법 [1]을 기반으로 다양한 수의 범벡터들로 구성하는 기법을 제안하였으며, 컴퓨터 모의실험으로 달성할 수 있는 보안전송률 측면에서 기존 기법과 함께 비교 분석하여, 성능이 향상됨을 검증하였다.

### II. 보안 전송률 향상을 위해 제안한 이종 Rank 범행렬 선택 기반 의사-무작위 범포밍 기법

$N_t$ 개의 안테나를 탑재한 기지국과 단일안테나 공인단말  $N_{MS}$ 개와 1개의 비공인단말이 존재하는 하향링크 셀을 고려한다. 기지국은  $M$ 개의 의사-무작위로 송신 범행렬 후보  $\mathbf{V}^{[1]}, \dots, \mathbf{V}^{[m]}, \dots, \mathbf{V}^{[M]}$ 을 생성한다. 기존 기법 [1]에서는  $N_t$ 개의 범벡터로 구성된  $M$ 개의 송신 범행렬 후보들을 생성하며,  $m \in \{1, \dots, M\}$  번째 범행렬 후보는  $\mathbf{V}^{[m]} = [\mathbf{v}^{[1]}, \dots, \mathbf{v}^{[N_t]}] \in \mathbb{C}^{N_t \times N_t}$ 로 나타낼 수 있다. 그러나 본 논문에서 제안한 기법은  $M$ 개의 범행렬 후보들 중  $M/2$ 개는  $\mathbf{V}^{[m]} = [\mathbf{v}^{[1]}, \dots, \mathbf{v}^{[b]}, \dots, \mathbf{v}^{[N_t]}] \in \mathbb{C}^{N_t \times N_t}$ 이며, 나머지  $M/2$ 개는  $\mathbf{V}^{[m]} = [\mathbf{v}^{[1]}, \dots, \mathbf{v}^{[b]}, \dots, \mathbf{v}^{[N_t/2]}] \in \mathbb{C}^{N_t \times (N_t/2)}$ 로 이종 랭크를 갖도록 생성한다. 이때, 각 범행렬을 이루는  $b$ 번쩨 범벡터는  $\mathbf{v}^{[b]} \in \mathbb{C}^{N_t \times 1}$ 의 크기를 갖는다. 예를 들면, 범행렬 후보가 8개일 경우,  $4 (= M/2)$  개의 범행렬 후보는  $4 (= N_t)$  개의 범벡터들, 나머지  $4 (= M/2)$  개는  $2 (= N_t/2)$  개의 범벡터들로 구성된다. 또한 기지국은 공인단말과 생성한 범 정보를 공유한다고 가정한다. 기지국으로부터  $i \in \{1, \dots, N_{MS}\}$  번째 공인단말, 비공인단말까지의 무선채널벡터는 각각  $\mathbf{h}_{MSi} \in \mathbb{C}^{N_t \times 1}$ 과  $\mathbf{h}_{EVE} \in \mathbb{C}^{N_t \times 1}$ 이며, 거리에 따른 채널감쇠는 고려하지 않는다. 공인단말들은 무선채널벡터를 통해 수신되는 신호의 유효 SINR값을 기지국으로 피드백하며, 기지국은 인접 셀에 속한 비공인단말과 통신하는 다른 인접 기지국을 통해  $\mathbf{h}_{EVE}$ 을 알고 있다고 가정한다. 무선채널들은 독립적이며 균등한 분포(i.i.d.)를 따르며, 1개 시간슬롯 또는 프레임동안 변하지 않는 준정적 상태를 가정한다. 기지국이  $B$ 개의 공인단말들에게 동시에 전송가능한 데이터신호벡터는  $\mathbf{x} = [x_1, \dots, x_B]^T \in \mathbb{C}^{B \times 1}$ 이며, 기지국에서 동시에 전송가능한 데이터신호의 수는 사용하는 범행렬을 이루는 범벡터 수  $B \in \{(N_t/2), (N_t)\}$ 에 의해 결정된다. 또한, 데이터신호의 전력제한  $\mathbb{E}[\|\mathbf{x}\|^2] = P$ 를 만족한다. 이러한 상황에서 기지국이  $m$ 번쩨 범행렬 후보를 사용하여 데이터신호벡터  $\mathbf{x}$ 를 전송한다면,  $i$ 번쩨 공인단말과 도청단말에서의  $b$ 번쩨 범벡터를 통해 수신되는 수신신호는 다음과 같이 표현된다.

$$y_{MSi}^{[m,b]} = (\mathbf{h}_{MSi})^T \mathbf{v}^{[m,b]} x_b + \sum_{l \neq b, l=1}^B (\mathbf{h}_{MSi})^T \mathbf{v}^{[m,l]} x_l + z_{MSi}, \quad (1)$$

$$y_{EVE}^{[m,b]} = (\mathbf{h}_{EVE})^T \mathbf{v}^{[m,b]} x_b + \sum_{l \neq b, l=1}^B (\mathbf{h}_{EVE})^T \mathbf{v}^{[m,l]} x_l + z_{EVE}, \quad (2)$$

이때 첫 번째 항은 원하는 신호의 크기, 두 번째 항은 범간 간섭 신호들의 크기의 합이며, 세 번째 항  $z_{MSi}$ 와  $z_{EVE}$ 는 공인단말과 비공인단말에서 발생하는 복소가우시안분포의 열잡음으로  $CN(0, N_0)$ 의 분포를 따른다고 가정한다. 이러한 상황에서 유효 SINR을 다음과 같이 계산할 수 있다.

$$\gamma_{MSi}^{[m,b]} = \frac{|(\mathbf{h}_{MSi})^T \mathbf{v}^{[m,b]}|^2}{\sum_{l \neq b, l=1}^B |(\mathbf{h}_{MSi})^T \mathbf{v}^{[m,l]}|^2 + N_0/P}, \quad (3)$$

$$\gamma_{EVE}^{[m,b]} = \frac{|(\mathbf{h}_{EVE})^T \mathbf{v}^{[m,b]}|^2}{\sum_{l \neq b, l=1}^B |(\mathbf{h}_{EVE})^T \mathbf{v}^{[m,l]}|^2 + N_0/P}. \quad (4)$$

만약  $M=8$ ,  $N_t=4$ 를 가정한다면, 모든 공인단말들과 비공인단말은  $(MN_t/2) + (MN_t/4) = 3MN_t/4 = 3 \times 8 \times 4/2 = 48$ 개의 모든 범벡터들에 대해 전부 계산할 수 있다. 이때, 기지국에서  $m$ 번째 범행렬 후보를 사용하여 전송한다면, 달성가능한 보안전송률(Achievable Secrecy Sum-Rate)을 다음과 같이 계산할 수 있다.

$$R_{SEC}^{[m]} = \left[ \sum_{b=1}^B \log_2 \left( 1 + \max_i \gamma_{MSi}^{[m,b]} \right) - \log_2 \left( 1 + \max_l \gamma_{EVE}^{[m,l]} \right) \right]^+. \quad (5)$$

기지국은 모든 범행렬 후보  $M$ 개에 대해 (5)를 계산한 후, 보안전송률을 극대화할 수 있는 범행렬 후보의 인덱스  $\hat{m}$ 를 결정한다.

$$\hat{m} = \underset{m}{\operatorname{argmax}} R_{SEC}^{[m]}. \quad (6)$$

최종적으로 얻을 수 있는 극대화된 보안전송률은  $R_{SEC}^{[\hat{m}]}$ 이다.

### III. 시뮬레이션 결과

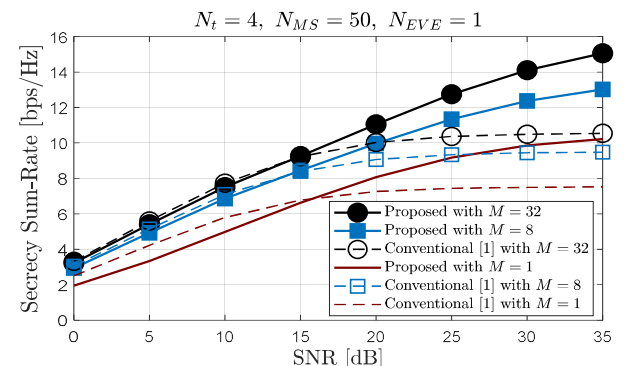


그림 1 제안한 기법과 기존 기법의 보안 전송률 성능 비교

그림 1은 본 논문에서 제안하는 기법과 기존 기법에 대해 기지국 안테나 수는 4개, 셀 내 공인단말 수는 50개, 셀 인접에 비공인단말 수는 1개일 때, 수신 SNR의 증가함에 따라 달성할 수 있는 보안 전송률을 보여준다. SNR이 낮은 영역에서 기존 기법의 보안전송률이 약간 우수하나, SNR이 높은 영역에서는 범벡터를 더 적게 사용하는 제안한 기법이 기존 [1]의 성능보다 향상된다.

### ACKNOWLEDGMENT

이 논문은 2019년도 과학기술정보통신부의 재원으로 한국연구재단의 지원을 받아 수행된 기초연구사업임 (No.NRF-2019R1A2B5B01070697).

### 참 고 문 현

[1] 손웅, 정방철, “하향링크 물리계층보안 향상을 위한 의사-무작위 범포밍 기법”, in Proc. of JCCI, Mar. 2018.